

南秦岭刘岭群砂岩碎屑锆石LA-ICP-MS U-Pb年龄及其构造意义

陈龙耀¹, 罗玉凌², 刘晓春¹, 曲 玮¹, 胡 娟¹

CHEN Long-yao¹, LUO Yü-ling², LIU Xiao-chun¹, QU Wei¹, HU Juan¹

1. 中国地质科学院地质力学研究所, 北京 100081;

2. 中国海洋石油总公司规划计划部, 北京 100010

1. Institute of Geomechanics, Chinese Academy of Geological Sciences, Beijing 100081, China;

2. Planning Department, China National Offshore Oil Corporation, Beijing 100010, China

摘要:秦岭造山带的构造演化是理解华北与扬子陆块缝合过程的关键,位于商丹断裂带以南的刘岭群是揭示秦岭造山带晚古生代构造演化历史的重要窗口。采用LA-ICP-MS对刘岭群3个变质砂岩样品中的碎屑锆石进行了U-Th-Pb同位素测定,获得最年轻的一组年龄区间为377~395Ma,主要年龄峰值约为442Ma、780~850Ma和900~970Ma,表明刘岭群沉积时代可以持续到晚泥盆世,物质来源于北秦岭构造带。结合刘岭群北侧武关杂岩的最新研究成果可以确定,刘岭群和武关杂岩共同构成了华北陆块南缘中—晚泥盆世弧前盆地的沉积序列,暗示古秦岭洋的最终闭合发生在泥盆纪之后,而华北与扬子陆块碰撞的主缝合线应位于刘岭群的南侧。

关键词:碎屑锆石; LA-ICP-MS U-Pb年龄; 物质来源; 晚古生代; 古秦岭洋; 刘岭群; 秦岭造山带

中图分类号:P588.21^{2.3}; P597³ 文献标志码:A 文章编号:1671-2552(2014)09-1363-16

Chen L Y, Luo Y L, Liu X C, Qu W, Hu J. LA-ICP-MS U-Pb geochronology of detrital zircons from the Liuling Group in the South Qinling tectonic belt and its tectonic significance. Geological Bulletin of China, 2014, 33(9): 1363–1378

Abstract: The tectonic evolution of the Qinling orogen is the key to understanding the assembly of the North China and South China blocks. The Liuling Group in the south of the Shangdan fault can provide an important window for detecting the Late Paleozoic evolutionary process of the Qinling orogen. The LA-ICP-MS U-Pb ages of detrital zircons from three metasandstone samples from the Liuling Group show a age spectrum with major populations at ca. 442Ma and in the range of 780~850Ma and 900~970Ma, with the youngest population being ca. 377~395Ma. These data suggest that the deposition of the Liuling Group might have lasted to the Late Devonian, and sediments were probably derived from the North Qinling tectonic belt. In combination with the recent investigation of the Wuguan complex in the north of the Liuling Group, the authors infer that a Middle to Late Devonian turbidite sequence might have formed in a fore-arc basin on the southern margin of the North China block, and the closure of the Paleo-Qinling ocean might have occurred after Devonian. Hence, the collisional boundary of the North and South China blocks should be located in the south of the Liuling Group.

Key words: Detrital zircons; LA-ICP-MS U-Pb ages; material source; Late Paleozoic; Pale-Qinling Ocean; Liuling Group; Qinling orogen

秦岭—桐柏—大别—苏鲁造山带是中亚地区最重要的巨型碰撞造山带之一,是标志华北与扬子

陆块缝合的区域^[1-4]。这一巨型造山带自显生宙以来的演化历史可以清晰地划分为早古生代增生造

收稿日期:2013-11-22; 修訂日期:2014-07-28

资助项目:国家973项目(编号:2009CB825006)

作者简介:陈龙耀(1988-),男,硕士研究生,从事变质岩石学研究。E-mail: chenlongyao1220@163.com

通讯作者:刘晓春(1962-),男,研究员,从事岩石学研究。E-mail: liuxchqw@cags.ac.cn

山(北秦岭—北桐柏构造带)、中生代碰撞造山(南秦岭—南桐柏—大别—苏鲁构造带)及白垩纪以来的陆内造山过程^[4~6]。相对于早古生代末的弧陆碰撞和中生代的陆陆碰撞造山事件,晚古生代的地质演化历史最不清晰。分布于商丹断裂带以南的武关杂岩和刘岭群代表早古生代北秦岭和中生代南秦岭之间的晚古生代构造带^[7~8],因此对这2个构造单元性质的研究成为解决秦岭造山带晚古生代构造演化历史的关键。最新的研究^[9~10]表明,武关杂岩是秦岭大陆岛弧与弧前复理石沉积的混合物,时代为晚奥陶世—晚泥盆世。但是,在刘岭群沉积环境、构造归属等关键问题的认识上依然存在较大的分歧,主要有:①古秦岭洋闭合之后形成的前陆盆地沉积^[7~8,10~14];②扬子板块北缘被动大陆边缘沉积^[15~19];③秦岭古岛弧南侧弧前盆地沉积^[2,20~24];④秦岭微板块之上的残留(断陷)盆地沉积^[1,25~26]。由此可以看出,刘岭群的物质来源是所有争论的关键所在。

研究表明,沉积岩中的副矿物碎屑锆石U-Th-Pb同位素体系具有较高的封闭温度,在低级变质作用和风化搬运过程中保持稳定,所以在漫长的地质演化历史中能较好地记录最初的构造热事件。随着锆石微区原位U-Th-Pb同位素测定技术的发展,碎屑锆石测年被广泛应用于秦岭造山带及其邻区的研究,例如:限定沉积地层的最大沉积年龄^[6,27]、示踪沉积物源区^[9,28]、揭示早期地壳演化^[29~30]等方面。因此,从沉积盆地碎屑锆石角度来探讨造山作用过程和区域构造演化已成为当今大陆动力学研究的重要组成部分。刘岭群碎屑沉积岩中保存有完整的物源区信息和古生代构造演化的地质记录。本文基于造山作用沉积响应的事实,以出露于丹凤—商南一带的泥盆系刘岭群作为研究重点,采用LA-ICP-MS技术对其中的碎屑锆石进行了系统的U-Pb年龄研究,以限定其沉积时代,揭示物源区特征,并结合碎屑岩地球化学特征及区域可利用的资料,对其沉积环境和构造意义进行讨论。

1 区域地质概况

秦岭造山带西连祁连造山带,东接桐柏—大别造山带,延伸超过1500km。该造山带北以洛南—柰川断裂为界,南以勉略—巴山—襄广断裂带为界(图1-a)。根据板块构造模式,一般以商丹断裂带为界将秦岭造山带的主体分为北秦岭和南秦岭2个

构造带^[11~12,15~17]。北秦岭主要由前寒武纪基底(秦岭群)、新元古代变质沉积岩和变质火山岩(宽坪群)、早古生代变质火山岩系(二郎坪群和丹凤群)及古生代变质程度较低的沉积地层组成,此外还包含有新元古代早期(980~910Ma)、早古生代(507~400Ma)和中生代晚期(250~180Ma)侵入的花岗岩^[32~33]。南秦岭主要包括弧前增生杂岩(武关杂岩)、新元古代裂谷性质的火山岩系(武当群和耀岭河群)、震旦纪—志留纪被动大陆边缘沉积地层和东秦岭泥盆纪—三叠纪沉积地层。

刘岭群专指分布于马鞍桥—鮀鱼咀韧性剪切带与凤镇—山阳断裂之间的泥盆纪地层(图1-b),向东可与桐柏山、大别山以北的南湾复理石和佛子岭群相对比。刘岭群主要岩石组合为遭受绿片岩相一角闪岩相变质的砂岩、粉砂岩、泥岩和少量泥质灰岩夹层。根据岩石组合和生物地层特征,自下而上可将刘岭群分为中泥盆世牛耳川组、池沟组、青石垭组和晚泥盆世桐峪寺组^[34]。其中,池沟组和青石垭组构成了刘岭群的主体,桐峪寺组和牛耳川组仅出露于柞水—山阳地区。牛耳川组主要岩性为灰、灰绿色薄层至中层砂岩、粉砂质板岩及粉砂岩,夹少量白云质灰岩。水平层理发育,并见波状层理。池沟组岩石组合为灰色、深灰色中一薄层砂岩、粉砂岩、钙质粉砂岩、泥岩夹薄层灰岩。该组中下部发育大型交错层理及双向斜层理,与下伏地层牛耳川组整合接触。青石垭组岩石组合分为上、下2个岩性段,下部为灰色、深灰色砂岩、粉砂岩与泥岩互层产出,上部为泥岩、钙质粉砂岩与薄层灰岩互层。桐峪寺组主要岩石组合为互层状灰绿色砂岩、泥质粉砂岩和板岩,韵律层发育,其中夹多层薄层灰岩。

2 样品及测试方法

2.1 样品描述

本文研究的3个变质砂岩样品(DF04-4、TYP07-2、XP12-1)由西向东分别取自七里店、小花瓶子和鸡听河(图1-b),其中样品DF04-4和XP12-1取自池沟组,样品TYP07-2取自青石垭组。这些样品的位置、矿物组合特征及年龄结果见表1。

样品DF04-4为灰黑色二云母石英片岩,呈厚层状夹于变质长石石英砂岩中。主要由白云母、黑

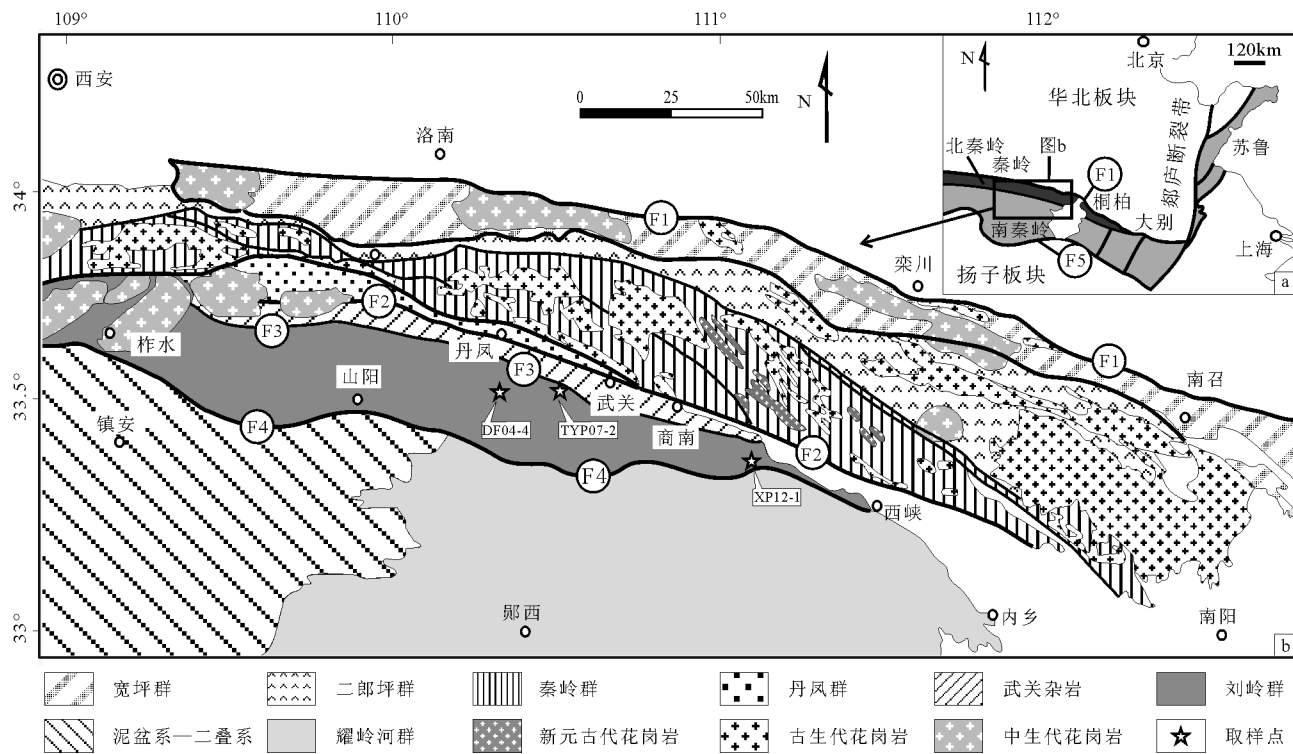


图1 秦岭—桐柏—大别—苏鲁造山带区域构造简图(a)^[3]与
东秦岭造山带地质简图及取样位置(b)^[7]

Fig. 1 Regional tectonic map of the Qinling-Tongbai-Dabie-Sulu orogenic belt (a) and
simplified geological map of the eastern Qinling orogenic belt and sampling sites (b)

F1—洛南—栾川断裂带; F2—商丹断裂带; F3—马鞍桥—鮀鱼咀韧性剪切带; F4—丰镇—山阳断裂; F5—勉略—巴山—襄广断裂带

云母和石英组成。白云母和黑云母呈长叶片状均匀分布, 强烈定向。原岩应为泥质粉砂岩。

样品TYP07-2为厚层状含石榴二云石英片岩, 局部夹有条带状变质砂岩, 并强烈褶皱。岩石细粒, 主要矿物组成为石榴子石、黑云母、白云母、石英和电气石, 含少量绿泥石和斜长石。石榴子石呈自形粒状, 白云母和黑云母呈叶片状强烈定向。原

岩应是泥质粉砂岩。

样品XP12-1为紫灰色中厚层状变质石英砂岩, 内发育小褶皱。主要组成矿物为白云母、黑云母和石英, 含极少量斜长石, 变形较强, 白云母和黑云母呈长叶片状强烈定向。

2.2 测试方法

锆石的分选在河北省区域地质矿产调查研究

表1 刘岭群中定年样品的位置、岩性、矿物组合和锆石U-Pb定年结果

Table 1 Sampling sites, lithology, mineral assemblages and U-Pb
dating results of the rocks from the Liuling Group

样品	位置	经纬度	岩性	矿物组合	最年轻的年龄/Ma	主要峰值年龄/Ma
DF04-4	七里店	N33°33'29"E110°19'44"	二云石英片岩	Bt+Ms+Qtz	425±5	440、826
TYP07-2	小花瓶子	N 33°35'02"E 110°30'10"	含石榴二云石英片岩	Grt+Bt+Ms+Ep+Pl + Qtz+Tur	377±4	382、442、805、957、2512
XP12-1	鸡听河	N 33°23'41"E 111°05'21"	变质石英砂岩	Bt+Ms+Qtz	418±5	442、723、788、803、968、2460

注: Bt—黑云母, Ep—绿帘石, Grt—石榴子石, Ms—白云母, Oq—不透明矿物, Pl—斜长石, Qtz—石英, Tur—电气石

所岩矿分析实验室完成。将待测锆石颗粒制成环氧树脂样品靶,抛光至锆石颗粒保留 2/3 部分。在 U-Th-Pb 同位素测定前,拍摄可见光和阴极发光(CL)照片,根据它们所反映的特征,选择合适的颗粒和部位进行测定。锆石微区 U-Pb 定年在中国地质调查局天津地质调查中心同位素实验室的激光烧蚀多接收器电感耦合等离子体质谱仪上(LA-MC-ICPMS)完成。仪器性能、分析方法、测试过程见参考文献[35]。激光束斑孔径为 $35\text{ }\mu\text{m}$,频率 8~10HZ,激光器能量密度为 $13\sim14\text{J}/\text{cm}^2$ 。采用 GJ-1 作为外部锆石年龄标准,同时利用 NIST612 玻璃标样作为外标计算锆石样品的 Pb、U 和 Th 含量。采用中国地质大学刘勇胜教授研发的 ICPMSDataCal 程序和 Isoplot 程序进行数据处理,采用 ^{208}Pb 校正法进行普通 Pb 校正。锆石年龄加权平均值的计算及 U-Pb 谐和图的绘制采用 Isoplot3.23 程序^[36]。单个点的同位素比值及年龄误差均为 1σ ,年龄加权平均值对应 95% 的置信度。

3 测试结果

对 3 个变质砂岩中每个样品的碎屑锆石按顺序排列分析了 120 个点,分析结果列于表 2。将谐和度大于等于 95% 的分析点作为有效数据来统计,其他数

据舍去。按照一般的原则,对于小于等于 1000Ma 的数据点取 $^{206}\text{Pb}/^{238}\text{U}$ 年龄,大于 1000Ma 的数据点则取 $^{207}\text{Pb}/^{206}\text{Pb}$ 年龄。

3.1 二云母石英片岩(样品 DF04-4)

二云母石英片岩(DF04-4)中锆石呈卵形到柱状,阴极发光(CL)下绝大多数颗粒具有韵律环带(图 2-a),属于岩浆成因,少数暗色颗粒无环带或具面状环带,可能属于变质成因。此外,仅个别颗粒发育有很窄的暗色或灰色生长边。120 个分析点基本都位于韵律环带部位,个别点位于面状环带部位。有效数据所获得的年龄范围从 $3519\text{Ma}\pm12\text{Ma}$ 变化到 $425\text{Ma}\pm5\text{Ma}$,其中 1 个主要峰值约为 440Ma,另 1 个次要峰值约为 826Ma(图 3)。

3.2 含石榴二云石英片岩(样品 TYP07-2)

含石榴二云石英片岩(TYP07-2)中锆石比较细小,多数呈卵形,少数呈柱状。绝大多数颗粒均具有韵律环带,可发育一条狭窄的暗色或灰色边(图 2-b),少数颗粒暗色,也可有灰色边。120 个分析点基本上都位于韵律环带部位,仅个别点位于暗色发光部位。有效数据所获得的年龄范围从 $2748\text{Ma}\pm13\text{Ma}$ 变化到 $377\text{Ma}\pm4\text{Ma}$,其中 1 个主要峰值约在 442Ma,另 4 个次要峰值约在 2512Ma、957Ma、805Ma 和 382Ma(图 3)。

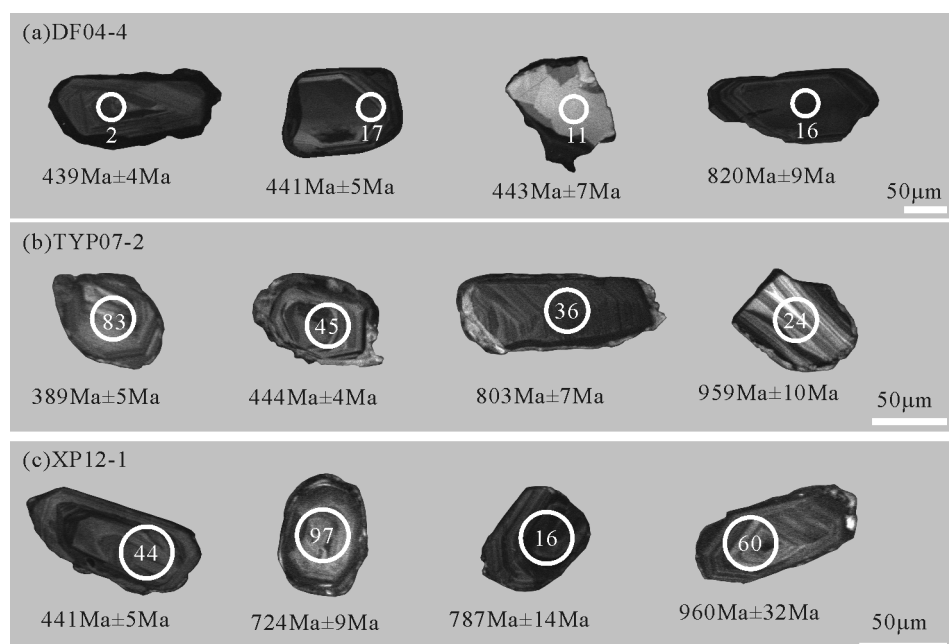


图 2 刘岭群变质砂岩中碎屑锆石的阴极发光图像(年龄误差为 1σ)

Fig. 2 Cathodoluminescence (CL) images of detrital zircons from metasandstones from the Liuling Group

表2 刘岭群中变质砂岩碎屑锆石LA-ICP-MS U-Th-Pb分析结果

Table 2 LA-ICP-MS U-Th-Pb analyses of detrital zircons from metasandstones of the Liuling Group

分析点	Th/10 ⁻⁶	U/10 ⁻⁶	Th/U	同位素比值						年 龄 /Ma						谐和度
				$^{207}\text{Pb}/^{206}\text{Pb}$	$\pm\sigma$	$^{207}\text{Pb}/^{235}\text{U}$	$\pm\sigma$	$^{206}\text{Pb}/^{238}\text{U}$	$\pm\sigma$	$^{207}\text{Pb}/^{206}\text{Pb}$	$\pm\sigma$	$^{207}\text{Pb}/^{235}\text{U}$	$\pm\sigma$	$^{206}\text{Pb}/^{238}\text{U}$	$\pm\sigma$	
样品 DF04-4																
1	33	82	0.41	0.0562	0.0044	0.554	0.016	0.0714	0.0010	462	175	447	13	445	7	99%
2	130	295	0.44	0.0564	0.0013	0.549	0.009	0.0705	0.0006	469	50	444	7	439	4	99%
3	54	73	0.74	0.0564	0.0041	0.551	0.014	0.0709	0.0009	467	163	446	11	441	6	99%
4	43	79	0.54	0.0558	0.0042	0.559	0.014	0.0727	0.0009	445	168	451	12	452	6	100%
5	147	268	0.55	0.0553	0.0014	0.520	0.008	0.0682	0.0007	423	56	425	7	425	5	100%
6	25	87	0.29	0.0734	0.0017	1.654	0.021	0.1634	0.0014	1025	46	991	13	976	8	98%
7	78	64	1.22	0.0655	0.0035	1.104	0.021	0.1222	0.0014	792	112	755	15	743	9	98%
8	256	457	0.56	0.0635	0.0006	1.047	0.017	0.1196	0.0011	724	22	727	12	728	7	100%
9	69	190	0.37	0.0562	0.0020	0.539	0.008	0.0696	0.0005	459	80	438	6	434	3	99%
10	45	1346	0.03	0.0716	0.0005	1.546	0.018	0.1566	0.0012	975	15	949	11	938	7	99%
11	22	55	0.41	0.0562	0.0062	0.551	0.017	0.0711	0.0011	461	243	446	14	443	7	99%
12	297	421	0.71	0.0563	0.0008	0.643	0.011	0.0828	0.0007	463	32	504	9	513	5	102%
13	137	307	0.45	0.0651	0.0007	1.155	0.016	0.1287	0.0011	776	22	779	11	781	7	100%
14	74	138	0.54	0.0567	0.0023	0.603	0.012	0.0771	0.0008	480	88	479	10	479	5	100%
15	103	254	0.40	0.0554	0.0015	0.531	0.013	0.0695	0.0009	430	60	433	11	433	5	100%
16	211	421	0.50	0.0664	0.0006	1.243	0.023	0.1356	0.0015	821	20	820	15	820	9	100%
17	186	542	0.34	0.0565	0.0008	0.551	0.013	0.0707	0.0008	472	33	446	10	441	5	99%
18	58	135	0.43	0.0541	0.0027	0.518	0.011	0.0694	0.0007	374	110	424	9	433	4	102%
19	105	298	0.35	0.0600	0.0026	0.585	0.019	0.0708	0.0012	602	93	468	15	441	8	94%
20	234	393	0.60	0.0600	0.0018	0.577	0.011	0.0697	0.0007	605	65	463	9	434	4	94%
21	359	938	0.38	0.0675	0.0004	1.286	0.022	0.1383	0.0014	852	14	840	14	835	9	99%
22	95	347	0.27	0.1473	0.0010	7.994	0.042	0.3936	0.0028	2315	12	2230	12	2139	15	96%
23	144	271	0.53	0.0566	0.0017	0.545	0.009	0.0699	0.0006	475	68	442	7	436	4	99%
24	139	197	0.70	0.0553	0.0018	0.537	0.011	0.0704	0.0007	425	72	436	9	439	5	101%
25	196	515	0.38	0.0579	0.0015	0.563	0.013	0.0705	0.0009	525	58	453	10	439	5	97%
26	297	677	0.44	0.0753	0.0006	1.828	0.024	0.1761	0.0016	1076	15	1056	14	1046	9	99%
27	83	334	0.25	0.0564	0.0012	0.549	0.013	0.0706	0.0009	466	45	444	11	440	5	99%
28	281	787	0.36	0.0582	0.0005	0.659	0.011	0.0821	0.0007	536	20	514	8	509	4	99%
29	325	625	0.52	0.0572	0.0006	0.560	0.011	0.0710	0.0007	500	23	452	9	442	4	98%
30	28	159	0.18	0.1618	0.0010	10.476	0.074	0.4697	0.0049	2474	11	2478	18	2482	26	100%
31	113	130	0.87	0.0682	0.0039	0.678	0.025	0.0721	0.0017	875	118	526	19	449	10	85%
32	140	546	0.26	0.0900	0.0007	2.820	0.057	0.2272	0.0037	1426	16	1361	27	1320	22	97%
33	117	430	0.27	0.0571	0.0009	0.579	0.009	0.0736	0.0006	495	35	464	7	458	4	99%
34	126	146	0.87	0.0571	0.0027	0.554	0.011	0.0703	0.0007	495	102	447	9	438	5	98%
35	46	920	0.05	0.1175	0.0016	3.976	0.070	0.2454	0.0046	1918	25	1629	29	1415	27	87%
36	260	583	0.45	0.0554	0.0007	0.540	0.007	0.0706	0.0005	429	29	438	6	440	3	100%
37	15	43	0.36	0.0691	0.0034	1.621	0.028	0.1701	0.0019	903	102	979	17	1013	11	103%
38	168	291	0.58	0.0585	0.0016	0.588	0.009	0.0728	0.0006	550	59	470	7	453	4	97%
39	69	206	0.33	0.0575	0.0019	0.566	0.009	0.0715	0.0006	510	74	456	7	445	4	98%
40	58	213	0.27	0.0570	0.0018	0.551	0.010	0.0701	0.0007	492	69	446	8	437	4	98%
41	103	205	0.50	0.0584	0.0017	0.581	0.010	0.0721	0.0007	545	64	465	8	449	4	97%
42	427	962	0.44	0.1433	0.0012	2.626	0.051	0.1329	0.0034	2267	14	1308	26	805	21	62%
43	22	645	0.03	0.0579	0.0006	0.627	0.008	0.0785	0.0005	527	23	494	6	487	3	99%
44	90	261	0.34	0.1139	0.0007	5.216	0.028	0.3321	0.0019	1863	11	1855	10	1849	10	100%
45	66	434	0.15	0.0737	0.0006	1.706	0.014	0.1679	0.0009	1033	16	1011	8	1000	5	99%
46	378	443	0.85	0.1650	0.0010	10.649	0.053	0.4681	0.0035	2508	10	2493	13	2475	19	99%
47	237	984	0.24	0.0658	0.0005	1.244	0.017	0.1371	0.0011	800	15	821	11	828	7	101%
48	49	97	0.50	0.0567	0.0042	0.558	0.014	0.0714	0.0009	478	164	450	11	445	6	99%

续表 2-1

分析点	Th/ 10^{-6}	U/ 10^{-6}	Th/U	同位素比值						年龄 /Ma						谐和度
				$^{207}\text{Pb}/^{206}\text{Pb}$	$\pm\sigma$	$^{207}\text{Pb}/^{235}\text{U}$	$\pm\sigma$	$^{206}\text{Pb}/^{238}\text{U}$	$\pm\sigma$	$^{207}\text{Pb}/^{206}\text{Pb}$	$\pm\sigma$	$^{207}\text{Pb}/^{235}\text{U}$	$\pm\sigma$	$^{206}\text{Pb}/^{238}\text{U}$	$\pm\sigma$	
样品 DF04-4																
49	11	42	0.26	0.1260	0.0020	6.349	0.059	0.3655	0.0039	2043	28	2025	19	2008	22	99%
50	96	246	0.39	0.0566	0.0015	0.550	0.011	0.0705	0.0007	474	60	445	9	439	4	99%
51	137	400	0.34	0.0554	0.0011	0.545	0.012	0.0713	0.0008	428	42	442	9	444	5	101%
52	123	218	0.56	0.0546	0.0014	0.532	0.009	0.0707	0.0006	395	58	433	8	440	4	102%
53	319	764	0.42	0.0675	0.0005	1.316	0.017	0.1414	0.0011	854	15	853	11	853	7	100%
54	72	360	0.20	0.1620	0.0012	6.558	0.210	0.2936	0.0079	2477	13	2054	66	1660	45	81%
55	148	598	0.25	0.0698	0.0006	1.506	0.017	0.1564	0.0011	924	19	933	11	936	7	100%
56	74	151	0.49	0.0579	0.0025	0.560	0.012	0.0702	0.0008	525	96	451	10	437	5	97%
57	170	322	0.53	0.0610	0.0012	0.624	0.008	0.0742	0.0005	639	42	492	6	461	3	94%
58	3	39	0.07	0.4412	0.0103	4.977	0.097	0.0818	0.0018	4056	35	1815	36	507	11	28%
59	127	303	0.42	0.0591	0.0014	0.571	0.009	0.0702	0.0006	570	51	459	7	437	4	95%
60	1	15	0.07	0.6902	0.0150	20.461	0.343	0.2150	0.0227	4710	31	3113	52	1255	133	40%
61	122	175	0.70	0.0560	0.0021	0.543	0.010	0.0703	0.0006	452	84	440	8	438	4	100%
62	787	1189	0.66	0.0608	0.0010	0.708	0.019	0.0845	0.0012	632	36	544	14	523	8	96%
63	72	112	0.64	0.0598	0.0030	0.578	0.013	0.0701	0.0009	595	110	463	10	437	5	94%
64	42	96	0.44	0.0632	0.0043	0.647	0.013	0.0742	0.0009	717	145	507	10	461	5	91%
65	16	34	0.46	0.1123	0.0014	5.050	0.052	0.3262	0.0034	1837	23	1828	19	1820	19	100%
66	20	1069	0.02	0.1008	0.0007	4.040	0.044	0.2907	0.0029	1639	13	1642	18	1645	17	100%
67	262	747	0.35	0.0562	0.0008	0.558	0.010	0.0720	0.0007	462	31	450	8	448	4	99%
68	268	626	0.43	0.0567	0.0007	0.556	0.010	0.0711	0.0006	480	26	449	8	443	4	99%
69	4	56	0.08	0.4025	0.0071	3.941	0.018	0.0710	0.0012	3918	26	1622	8	442	8	27%
70	74	217	0.34	0.0567	0.0017	0.552	0.011	0.0706	0.0007	481	65	447	9	440	4	99%
71	148	1114	0.13	0.0564	0.0006	0.555	0.010	0.0713	0.0007	469	25	448	8	444	4	99%
72	234	804	0.29	0.0578	0.0006	0.671	0.014	0.0842	0.0009	521	22	521	11	521	6	100%
73	118	238	0.50	0.0572	0.0016	0.554	0.010	0.0702	0.0007	498	63	447	8	437	4	98%
74	434	1302	0.33	0.0567	0.0010	0.553	0.010	0.0707	0.0006	480	38	447	8	440	4	99%
75	64	160	0.40	0.0580	0.0028	0.560	0.011	0.0700	0.0007	528	106	451	9	436	5	97%
76	187	355	0.53	0.0573	0.0011	0.597	0.009	0.0756	0.0006	503	42	475	7	470	4	99%
77	49	276	0.18	0.0679	0.0009	1.283	0.018	0.1370	0.0012	866	27	838	12	828	7	99%
78	104	1182	0.09	0.0695	0.0005	1.448	0.016	0.1510	0.0011	914	16	909	10	907	6	100%
79	251	720	0.35	0.0593	0.0007	0.601	0.010	0.0735	0.0007	580	24	478	8	457	4	96%
80	113	205	0.55	0.0574	0.0019	0.587	0.009	0.0741	0.0006	508	75	469	7	461	4	98%
81	103	90	1.14	0.0738	0.0026	1.263	0.017	0.1242	0.0012	1035	70	829	11	755	7	91%
82	221	164	1.34	0.1865	0.0014	13.189	0.058	0.5128	0.0038	2712	12	2693	12	2669	20	99%
83	480	649	0.74	0.1435	0.0010	8.429	0.067	0.4259	0.0045	2270	12	2278	18	2287	24	100%
84	342	865	0.39	0.0587	0.0006	0.670	0.013	0.0829	0.0009	554	23	521	10	513	5	99%
85	78	120	0.65	0.1297	0.0011	6.797	0.038	0.3800	0.0025	2094	15	2085	12	2077	14	100%
86	87	194	0.45	0.1650	0.0012	10.599	0.060	0.4660	0.0040	2507	13	2489	14	2466	21	99%
87	82	294	0.28	0.3096	0.0024	30.539	0.089	0.7153	0.0059	3519	12	3504	10	3479	29	99%
88	199	241	0.83	0.0585	0.0018	0.573	0.008	0.0711	0.0005	548	67	460	6	443	3	96%
89	249	720	0.35	0.0573	0.0012	0.603	0.009	0.0763	0.0006	505	47	479	7	474	4	99%
90	265	446	0.59	0.0560	0.0011	0.543	0.008	0.0703	0.0005	453	44	440	6	438	3	99%
91	68	423	0.16	0.0689	0.0007	1.249	0.028	0.1315	0.0018	896	21	823	18	796	11	97%
92	430	376	1.14	0.0571	0.0013	0.551	0.009	0.0700	0.0006	495	48	446	7	436	4	98%
93	144	1051	0.14	0.0818	0.0007	2.201	0.100	0.1951	0.0066	1241	17	1181	54	1149	39	97%
94	223	313	0.71	0.0564	0.0013	0.546	0.015	0.0702	0.0010	469	51	442	12	437	6	99%
95	317	542	0.59	0.0580	0.0010	0.570	0.009	0.0713	0.0006	529	38	458	8	444	4	97%
96	213	474	0.45	0.0563	0.0009	0.549	0.008	0.0707	0.0010	466	35	445	7	440	6	99%
97	423	754	0.56	0.0585	0.0009	0.579	0.007	0.0718	0.0005	548	32	464	6	447	3	96%

续表2-2

分析点	Th/ 10^{-6}	U/ 10^{-6}	Th/U	同位素比值						年龄 /Ma						谐和度
				$^{207}\text{Pb}/^{206}\text{Pb}$	$\pm\sigma$	$^{207}\text{Pb}/^{235}\text{U}$	$\pm\sigma$	$^{206}\text{Pb}/^{238}\text{U}$	$\pm\sigma$	$^{207}\text{Pb}/^{206}\text{Pb}$	$\pm\sigma$	$^{207}\text{Pb}/^{235}\text{U}$	$\pm\sigma$	$^{206}\text{Pb}/^{238}\text{U}$	$\pm\sigma$	
样品 DF04-4																
98	303	580	0.52	0.1420	0.0013	1.374	0.010	0.0702	0.0007	2252	16	878	6	437	4	50%
99	149	377	0.40	0.0603	0.0015	0.591	0.008	0.0710	0.0005	615	52	471	6	442	3	94%
100	131	436	0.30	0.0570	0.0008	0.571	0.009	0.0726	0.0006	493	31	459	7	452	4	99%
101	107	204	0.52	0.1296	0.0009	6.658	0.042	0.3725	0.0028	2093	12	2067	13	2041	15	99%
102	187	394	0.48	0.0610	0.0011	0.593	0.011	0.0706	0.0007	639	41	473	8	440	4	93%
103	160	226	0.71	0.0578	0.0017	0.590	0.011	0.0741	0.0007	521	66	471	8	461	4	98%
104	421	1104	0.38	0.0577	0.0015	0.562	0.012	0.0707	0.0008	517	58	453	9	440	5	97%
105	320	989	0.32	0.0580	0.0005	0.648	0.012	0.0811	0.0008	529	20	507	9	503	5	99%
106	367	580	0.63	0.0598	0.0009	0.570	0.009	0.0691	0.0006	596	33	458	7	431	4	94%
107	197	566	0.35	0.0813	0.0013	1.724	0.016	0.1538	0.0011	1228	30	1017	9	923	6	91%
108	258	790	0.33	0.0914	0.0014	1.955	0.017	0.1552	0.0011	1454	28	1100	9	930	7	85%
109	536	2348	0.23	0.0665	0.0005	1.270	0.020	0.1384	0.0013	823	15	832	13	836	8	100%
110	192	408	0.47	0.0553	0.0009	0.559	0.012	0.0733	0.0008	424	36	451	9	456	5	101%
111	319	505	0.63	0.0590	0.0006	0.821	0.015	0.1008	0.0010	569	23	608	11	619	6	102%
112	573	1170	0.49	0.0560	0.0006	0.591	0.013	0.0765	0.0009	452	24	471	11	475	5	101%
113	535	514	1.04	0.0556	0.0008	0.566	0.012	0.0738	0.0008	438	32	455	9	459	5	101%
114	101	425	0.24	0.0572	0.0011	0.560	0.010	0.0710	0.0007	498	42	451	8	442	4	98%
115	68	357	0.19	0.0744	0.0008	1.912	0.026	0.1863	0.0017	1054	21	1085	15	1101	10	101%
116	379	842	0.45	0.0588	0.0007	0.567	0.010	0.0700	0.0006	560	26	456	8	436	4	96%
117	48	193	0.25	0.0863	0.0010	2.858	0.025	0.2402	0.0016	1345	22	1371	12	1388	9	101%
118	158	193	0.82	0.1567	0.0018	9.587	0.060	0.4437	0.0040	2420	19	2396	15	2367	21	99%
119	631	2037	0.31	0.0726	0.0016	0.821	0.023	0.0821	0.0015	1003	45	609	17	508	9	84%
120	86	225	0.38	0.0544	0.0016	0.546	0.010	0.0728	0.0007	389	67	442	8	453	4	102%
样品 TYP07-2																
1	110	301	0.36	0.0869	0.0009	2.762	0.029	0.2305	0.0023	1358	20	1345	14	1337	13	99%
2	22	61	0.36	0.0811	0.0015	2.151	0.043	0.1925	0.0026	1223	37	1165	23	1135	15	97%
3	85	649	0.13	0.0699	0.0009	1.537	0.021	0.1595	0.0023	925	28	945	13	954	14	101%
4	112	142	0.79	0.0824	0.0006	2.485	0.029	0.2187	0.0020	1256	14	1268	15	1275	11	101%
5	48	103	0.47	0.0675	0.0012	1.316	0.023	0.1414	0.0014	854	36	853	15	853	9	100%
6	137	305	0.45	0.0596	0.0007	0.707	0.010	0.0861	0.0012	588	27	543	8	533	7	98%
7	37	475	0.08	0.0711	0.0009	1.591	0.011	0.1623	0.0022	960	26	967	7	970	13	100%
8	316	280	1.13	0.1619	0.0013	10.185	0.075	0.4562	0.0066	2476	13	2452	18	2423	35	99%
9	97	135	0.72	0.1650	0.0014	10.874	0.112	0.4781	0.0052	2507	14	2512	26	2519	27	100%
10	315	396	0.80	0.0658	0.0005	1.202	0.010	0.1324	0.0013	801	15	801	6	802	8	100%
11	253	525	0.48	0.0569	0.0005	0.599	0.005	0.0764	0.0009	486	19	477	4	474	6	99%
12	40	79	0.51	0.0680	0.0014	1.283	0.027	0.1369	0.0014	867	44	838	18	827	8	99%
13	70	181	0.39	0.0759	0.0005	1.976	0.015	0.1888	0.0016	1093	14	1107	8	1115	9	101%
14	30	1010	0.03	0.1054	0.0005	4.283	0.023	0.2949	0.0022	1721	8	1690	9	1666	12	99%
15	115	834	0.14	0.0620	0.0004	0.880	0.006	0.1028	0.0007	676	13	641	4	631	4	98%
16	86	315	0.27	0.0736	0.0005	1.807	0.013	0.1781	0.0018	1030	13	1048	7	1057	11	101%
17	99	94	1.05	0.0703	0.0013	1.437	0.026	0.1483	0.0014	936	37	904	16	891	9	99%
18	58	206	0.28	0.0670	0.0006	1.265	0.014	0.1369	0.0020	838	20	830	9	827	12	100%
19	147	323	0.45	0.0586	0.0010	0.613	0.010	0.0758	0.0006	553	37	485	8	471	4	97%
20	69	127	0.54	0.0575	0.0017	0.616	0.019	0.0777	0.0009	510	67	487	15	482	5	99%
21	114	450	0.25	0.1907	0.0016	14.183	0.094	0.5394	0.0055	2748	13	2762	18	2781	28	101%
22	65	182	0.36	0.0670	0.0017	1.299	0.034	0.1407	0.0014	836	52	845	22	849	9	100%
23	182	408	0.45	0.1581	0.0013	7.944	0.070	0.3644	0.0066	2435	14	2225	19	2003	36	90%
24	105	136	0.77	0.0707	0.0009	1.565	0.020	0.1604	0.0017	950	25	956	12	959	10	100%
25	462	655	0.71	0.0588	0.0017	0.577	0.017	0.0712	0.0004	559	63	462	14	443	3	96%
26	430	709	0.61	0.0846	0.0005	2.227	0.015	0.1910	0.0021	1306	10	1190	8	1127	12	95%

续表 2-3

分析点	Th/ 10^{-6}	U/ 10^{-6}	Th/U	同位素比值						年龄 /Ma						谐和度
				$^{207}\text{Pb}/^{206}\text{Pb}$	$\pm\sigma$	$^{207}\text{Pb}/^{235}\text{U}$	$\pm\sigma$	$^{206}\text{Pb}/^{238}\text{U}$	$\pm\sigma$	$^{207}\text{Pb}/^{206}\text{Pb}$	$\pm\sigma$	$^{207}\text{Pb}/^{235}\text{U}$	$\pm\sigma$	$^{206}\text{Pb}/^{238}\text{U}$	$\pm\sigma$	
样品 TYP07-2																
27	209	476	0.44	0.0568	0.0005	0.615	0.006	0.0785	0.0009	484	21	487	5	487	5	100%
28	106	401	0.26	0.0585	0.0010	0.599	0.012	0.0744	0.0009	547	36	477	10	462	6	97%
29	72	85	0.85	0.0594	0.0023	0.694	0.028	0.0848	0.0008	581	85	535	21	525	5	98%
30	60	281	0.21	0.0695	0.0005	1.523	0.011	0.1589	0.0017	914	14	940	7	951	10	101%
31	65	228	0.28	0.0714	0.0006	1.560	0.013	0.1586	0.0016	968	17	954	8	949	9	99%
32	75	200	0.37	0.0602	0.0012	0.683	0.014	0.0823	0.0009	611	42	529	11	510	6	96%
33	382	617	0.62	0.0565	0.0004	0.574	0.005	0.0737	0.0008	472	17	461	4	459	5	100%
34	331	714	0.46	0.0584	0.0005	0.615	0.005	0.0764	0.0009	544	19	487	4	475	5	98%
35	59	164	0.36	0.1142	0.0005	5.285	0.029	0.3355	0.0029	1868	8	1866	10	1865	16	100%
36	166	366	0.45	0.0653	0.0004	1.194	0.008	0.1327	0.0011	783	13	798	6	803	7	101%
37	192	300	0.64	0.0650	0.0007	1.215	0.011	0.1355	0.0013	775	22	807	7	819	8	101%
38	47	868	0.05	0.0798	0.0010	2.148	0.012	0.1953	0.0017	1191	24	1165	6	1150	10	99%
39	203	1113	0.18	0.0716	0.0009	1.588	0.009	0.1608	0.0015	975	27	965	5	961	9	100%
40	269	810	0.33	0.1001	0.0010	4.018	0.024	0.2911	0.0029	1626	18	1638	10	1647	16	101%
41	576	743	0.78	0.0578	0.0004	0.561	0.006	0.0704	0.0008	521	17	452	4	439	5	97%
42	224	513	0.44	0.0563	0.0006	0.558	0.006	0.0719	0.0007	464	23	450	5	448	5	100%
43	204	371	0.55	0.0560	0.0007	0.542	0.007	0.0702	0.0006	451	27	440	6	438	4	100%
44	118	416	0.28	0.0683	0.0005	1.244	0.018	0.1320	0.0032	879	15	820	12	799	20	97%
45	231	327	0.71	0.0574	0.0007	0.565	0.007	0.0713	0.0006	509	28	455	6	444	4	98%
46	58	277	0.21	0.0769	0.0008	1.957	0.012	0.1846	0.0014	1119	21	1101	7	1092	8	99%
47	391	1074	0.36	0.0821	0.0006	2.244	0.012	0.1981	0.0017	1249	15	1195	6	1165	10	97%
48	58	111	0.53	0.0766	0.0009	1.859	0.023	0.1760	0.0016	1111	25	1067	13	1045	9	98%
49	64	180	0.36	0.0725	0.0006	1.608	0.014	0.1609	0.0014	999	17	973	9	962	8	99%
50	213	547	0.39	0.0585	0.0006	0.605	0.006	0.0750	0.0006	548	21	480	4	466	4	97%
51	221	457	0.48	0.1284	0.0009	6.657	0.051	0.3761	0.0050	2076	13	2067	16	2058	28	100%
52	70	99	0.71	0.1660	0.0010	10.930	0.086	0.4776	0.0056	2518	10	2517	20	2517	29	100%
53	155	419	0.37	0.0731	0.0004	1.638	0.010	0.1624	0.0013	1018	12	985	6	970	8	98%
54	226	613	0.37	0.0575	0.0005	0.591	0.005	0.0745	0.0007	511	18	471	4	463	5	98%
55	143	1004	0.14	0.1398	0.0011	5.029	0.050	0.2610	0.0053	2224	13	1824	18	1495	30	82%
56	289	262	1.10	0.0552	0.0009	0.511	0.008	0.0671	0.0006	420	35	419	7	419	4	100%
57	102	297	0.34	0.0985	0.0010	3.834	0.022	0.2823	0.0026	1596	19	1600	9	1603	15	100%
58	99	409	0.24	0.0679	0.0004	1.250	0.008	0.1335	0.0012	866	14	823	6	808	7	98%
59	266	411	0.65	0.0579	0.0008	0.551	0.008	0.0690	0.0005	527	30	446	6	430	3	96%
60	71	217	0.33	0.0563	0.0010	0.561	0.010	0.0722	0.0005	466	38	452	8	449	3	99%
61	399	1746	0.23	0.0757	0.0003	1.668	0.010	0.1597	0.0019	1088	9	996	6	955	11	96%
62	651	865	0.75	0.0576	0.0004	0.546	0.006	0.0688	0.0008	516	17	443	4	429	5	97%
63	110	192	0.57	0.0663	0.0008	1.216	0.015	0.1329	0.0012	817	25	808	10	804	7	100%
64	78	164	0.48	0.0729	0.0009	1.685	0.021	0.1677	0.0013	1010	24	1003	12	999	7	100%
65	219	307	0.71	0.0558	0.0010	0.534	0.009	0.0694	0.0006	445	38	435	7	433	4	100%
66	199	615	0.32	0.1171	0.0006	2.293	0.024	0.1420	0.0015	1912	10	1210	12	856	9	71%
67	321	702	0.46	0.1578	0.0007	8.058	0.070	0.3704	0.0025	2432	8	2238	20	2031	14	91%
68	260	619	0.42	0.0557	0.0005	0.546	0.005	0.0710	0.0005	442	20	442	4	442	3	100%
69	121	598	0.20	0.0687	0.0005	1.248	0.008	0.1319	0.0016	888	14	823	6	799	10	97%
70	361	486	0.74	0.0578	0.0005	0.583	0.005	0.0732	0.0009	521	19	467	4	456	6	98%
71	162	648	0.25	0.0705	0.0004	1.472	0.009	0.1515	0.0014	942	11	919	6	909	8	99%
72	754	761	0.99	0.0553	0.0005	0.511	0.005	0.0669	0.0008	426	20	419	4	418	5	100%
73	40	68	0.58	0.0659	0.0018	1.270	0.036	0.1398	0.0017	803	58	832	23	843	10	101%
74	1791	1724	1.04	0.0588	0.0005	0.641	0.004	0.0791	0.0008	559	19	503	3	491	5	98%
75	55	124	0.44	0.0570	0.0020	0.562	0.021	0.0715	0.0008	490	79	453	17	445	5	98%

续表2-4

分析点	Th/ 10^{-6}	U/ 10^{-6}	Th/U	同位素比值						年龄 /Ma						谐和度
				$^{207}\text{Pb}/^{206}\text{Pb}$	$\pm\sigma$	$^{207}\text{Pb}/^{235}\text{U}$	$\pm\sigma$	$^{206}\text{Pb}/^{238}\text{U}$	$\pm\sigma$	$^{207}\text{Pb}/^{206}\text{Pb}$	$\pm\sigma$	$^{207}\text{Pb}/^{235}\text{U}$	$\pm\sigma$	$^{206}\text{Pb}/^{238}\text{U}$	$\pm\sigma$	
样品 TYP07-2																
76	111	188	0.59	0.0687	0.0008	1.259	0.014	0.1329	0.0014	891	23	828	9	804	9	97%
77	17	1421	0.01	0.0718	0.0005	1.567	0.008	0.1583	0.0015	980	14	957	5	948	9	99%
78	185	262	0.71	0.1020	0.0008	3.774	0.030	0.2683	0.0047	1661	14	1587	12	1532	27	97%
79	270	318	0.85	0.0574	0.0007	0.624	0.008	0.0787	0.0010	508	27	492	6	489	6	99%
80	167	462	0.36	0.0595	0.0006	0.642	0.007	0.0782	0.0010	585	23	503	5	486	6	97%
81	298	929	0.32	0.0779	0.0004	2.054	0.013	0.1913	0.0023	1144	10	1134	7	1128	14	99%
82	124	268	0.46	0.0792	0.0005	2.108	0.015	0.1930	0.0024	1177	12	1151	8	1138	14	99%
83	129	191	0.67	0.0563	0.0014	0.482	0.012	0.0621	0.0008	462	56	399	10	389	5	97%
84	77	143	0.54	0.0668	0.0011	1.241	0.019	0.1347	0.0016	832	36	819	13	814	10	99%
85	1044	1335	0.78	0.0571	0.0005	0.576	0.007	0.0732	0.0010	494	19	462	5	455	6	98%
86	86	133	0.65	0.0552	0.0019	0.501	0.018	0.0658	0.0008	422	77	413	14	411	5	100%
87	434	400	1.09	0.0568	0.0007	0.550	0.007	0.0703	0.0011	483	26	445	6	438	7	98%
88	289	561	0.52	0.0564	0.0005	0.546	0.006	0.0702	0.0008	468	21	442	4	438	5	99%
89	289	619	0.47	0.0580	0.0005	0.551	0.005	0.0689	0.0006	529	20	446	4	430	4	96%
90	289	420	0.69	0.0592	0.0006	0.575	0.006	0.0705	0.0007	574	24	461	5	439	5	95%
91	165	234	0.71	0.0990	0.0008	3.650	0.023	0.2675	0.0027	1605	16	1561	10	1528	16	98%
92	32	352	0.09	0.0831	0.0006	2.366	0.013	0.2066	0.0016	1271	14	1232	7	1210	9	98%
93	292	488	0.60	0.0552	0.0006	0.528	0.006	0.0694	0.0008	419	24	430	5	432	5	100%
94	257	430	0.60	0.0721	0.0007	1.572	0.010	0.1580	0.0017	990	19	959	6	946	10	99%
95	92	168	0.55	0.0556	0.0017	0.461	0.014	0.0602	0.0006	436	67	385	12	377	4	98%
96	88	346	0.26	0.0700	0.0005	1.433	0.011	0.1485	0.0015	927	13	903	7	893	9	99%
97	61	487	0.12	0.0660	0.0004	1.130	0.009	0.1242	0.0014	806	14	768	6	755	9	98%
98	91	211	0.43	0.0695	0.0006	1.435	0.013	0.1497	0.0013	915	18	904	8	899	8	99%
99	305	1467	0.21	0.0553	0.0005	0.527	0.005	0.0691	0.0010	426	22	430	4	431	6	100%
100	115	896	0.13	0.1486	0.0011	6.680	0.045	0.3260	0.0044	2330	13	2070	14	1819	25	88%
101	181	267	0.68	0.0550	0.0009	0.546	0.010	0.0720	0.0007	414	38	442	8	448	4	101%
102	536	466	1.15	0.0594	0.0009	0.558	0.008	0.0681	0.0007	583	33	450	6	424	4	94%
103	524	841	0.62	0.0550	0.0004	0.480	0.004	0.0633	0.0007	411	16	398	3	395	4	99%
104	105	333	0.31	0.1609	0.0012	9.319	0.068	0.4200	0.0052	2466	12	2370	17	2260	28	95%
105	205	361	0.57	0.0539	0.0007	0.530	0.007	0.0713	0.0007	369	28	432	6	444	4	103%
106	73	324	0.23	0.0739	0.0005	1.646	0.012	0.1616	0.0019	1038	13	988	7	966	11	98%
107	174	243	0.72	0.0724	0.0005	1.603	0.012	0.1606	0.0010	996	14	971	7	960	6	99%
108	151	537	0.28	0.1676	0.0012	10.146	0.088	0.4392	0.0031	2533	12	2448	21	2347	16	96%
109	59	486	0.12	0.0669	0.0004	1.257	0.013	0.1364	0.0025	834	13	827	9	824	15	100%
110	89	193	0.46	0.0623	0.0009	0.940	0.015	0.1095	0.0017	685	31	673	11	670	10	100%
111	33	32	1.04	0.1660	0.0013	10.562	0.095	0.4614	0.0044	2518	13	2485	22	2446	24	98%
112	60	284	0.21	0.0711	0.0005	1.421	0.011	0.1450	0.0016	959	16	898	7	873	10	97%
113	236	329	0.72	0.0590	0.0006	0.838	0.010	0.1030	0.0014	568	23	618	7	632	8	102%
114	139	438	0.32	0.0680	0.0006	1.172	0.010	0.1249	0.0012	870	18	788	7	759	7	96%
115	144	244	0.59	0.0660	0.0008	1.226	0.016	0.1348	0.0013	806	26	813	11	815	8	100%
116	189	184	1.03	0.0788	0.0006	2.065	0.015	0.1901	0.0016	1167	14	1137	8	1122	10	99%
117	671	1015	0.66	0.0506	0.0004	0.426	0.006	0.0610	0.0009	224	20	360	5	382	6	106%
118	151	556	0.27	0.1206	0.0006	4.244	0.048	0.2551	0.0053	1966	9	1683	19	1465	31	87%
119	373	376	0.99	0.0571	0.0008	0.556	0.008	0.0705	0.0006	497	30	449	7	439	4	98%
120	168	1000	0.17	0.1148	0.0006	5.404	0.056	0.3415	0.0044	1877	9	1886	20	1894	24	100%
样品 XP12-1																
1	1	84	0.01	0.0734	0.0017	1.730	0.035	0.1709	0.0013	1026	48	1020	21	1017	8	100%
2	220	510	0.43	0.1611	0.0010	9.905	0.057	0.4459	0.0027	2467	11	2426	14	2377	14	98%
3	64	103	0.63	0.1120	0.0010	5.004	0.045	0.3240	0.0042	1832	16	1820	16	1809	23	99%

续表 2-5

分析点	Th/ 10^{-6}	U/ 10^{-6}	Th/U	同位素比值						年 龄 /Ma						谐和度
				$^{207}\text{Pb}/^{206}\text{Pb}$	$\pm\sigma$	$^{207}\text{Pb}/^{235}\text{U}$	$\pm\sigma$	$^{206}\text{Pb}/^{238}\text{U}$	$\pm\sigma$	$^{207}\text{Pb}/^{206}\text{Pb}$	$\pm\sigma$	$^{207}\text{Pb}/^{235}\text{U}$	$\pm\sigma$	$^{206}\text{Pb}/^{238}\text{U}$	$\pm\sigma$	
样品 XP12-1																
4	291	716	0.41	0.0552	0.0006	0.524	0.005	0.0688	0.0012	419	23	428	4	429	7	100%
5	25	52	0.49	0.0903	0.0017	3.044	0.049	0.2445	0.0037	1432	35	1419	23	1410	21	99%
6	82	207	0.40	0.1686	0.0010	11.265	0.082	0.4846	0.0069	2544	10	2545	19	2547	36	100%
7	60	67	0.90	0.0663	0.0030	1.144	0.044	0.1252	0.0017	816	93	774	30	760	10	98%
8	112	302	0.37	0.0559	0.0014	0.516	0.011	0.0670	0.0008	447	55	422	9	418	5	99%
9	65	132	0.49	0.0745	0.0013	1.658	0.024	0.1614	0.0013	1056	34	993	14	965	8	97%
10	114	515	0.22	0.0547	0.0008	0.542	0.006	0.0719	0.0007	399	32	440	5	448	5	102%
11	268	825	0.33	0.0716	0.0004	1.625	0.010	0.1647	0.0017	973	13	980	6	983	10	100%
12	377	611	0.62	0.0567	0.0009	0.569	0.007	0.0727	0.0011	481	34	457	5	453	7	99%
13	292	523	0.56	0.0614	0.0006	0.847	0.007	0.1000	0.0006	654	21	623	5	614	4	99%
14	49	37	1.30	0.0650	0.0052	1.104	0.076	0.1233	0.0020	773	169	756	52	750	12	99%
15	20	1103	0.02	0.0709	0.0004	1.585	0.012	0.1621	0.0026	955	13	964	7	968	16	100%
16	295	673	0.44	0.0648	0.0006	1.160	0.009	0.1299	0.0023	768	18	782	6	787	14	101%
17	167	228	0.73	0.0807	0.0009	2.103	0.028	0.1890	0.0040	1215	23	1150	15	1116	24	97%
18	12	50	0.24	0.0879	0.0019	3.199	0.061	0.2641	0.0034	1379	42	1457	28	1511	19	104%
19	113	451	0.25	0.0703	0.0005	1.591	0.014	0.1642	0.0031	937	14	967	9	980	19	101%
20	381	764	0.50	0.0568	0.0006	0.578	0.005	0.0737	0.0008	485	22	463	4	459	5	99%
21	101	157	0.64	0.0666	0.0010	1.286	0.017	0.1400	0.0019	826	32	840	11	845	11	101%
22	110	346	0.32	0.0677	0.0007	1.287	0.011	0.1379	0.0007	859	21	840	7	833	4	99%
23	10	60	0.17	0.2285	0.0016	16.297	0.114	0.5172	0.0055	3042	11	2894	20	2687	28	93%
24	219	644	0.34	0.0673	0.0005	1.242	0.008	0.1338	0.0008	848	16	820	5	809	5	99%
25	226	428	0.53	0.1600	0.0011	9.889	0.068	0.4483	0.0049	2455	11	2425	17	2388	26	98%
26	84	639	0.13	0.1365	0.0008	4.730	0.038	0.2513	0.0039	2183	11	1773	14	1445	22	82%
27	282	1049	0.27	0.0690	0.0004	1.377	0.012	0.1447	0.0026	900	13	879	8	871	16	99%
28	128	335	0.38	0.0941	0.0006	3.448	0.021	0.2656	0.0028	1511	13	1515	9	1518	16	100%
29	133	324	0.41	0.0560	0.0012	0.548	0.010	0.0710	0.0007	453	46	444	8	442	4	100%
30	316	997	0.32	0.0877	0.0010	2.721	0.025	0.2250	0.0021	1376	21	1334	12	1308	12	98%
31	230	1097	0.21	0.0629	0.0005	0.953	0.008	0.1100	0.0019	703	19	680	6	673	12	99%
32	67	94	0.71	0.0786	0.0023	1.820	0.046	0.1679	0.0021	1163	58	1053	26	1000	12	95%
33	109	177	0.62	0.0569	0.0021	0.550	0.017	0.0701	0.0009	488	80	445	13	437	5	98%
34	165	158	1.05	0.0648	0.0010	1.158	0.016	0.1296	0.0019	768	34	781	11	786	11	101%
35	670	697	0.96	0.0572	0.0007	0.569	0.006	0.0722	0.0012	499	26	457	5	449	7	98%
36	341	652	0.52	0.0763	0.0005	2.023	0.014	0.1923	0.0024	1102	13	1123	8	1134	14	101%
37	52	109	0.48	0.0656	0.0016	1.172	0.024	0.1296	0.0015	794	51	788	16	785	9	100%
38	295	569	0.52	0.0718	0.0005	1.740	0.014	0.1758	0.0027	979	14	1023	8	1044	16	102%
39	247	1222	0.20	0.0827	0.0007	2.039	0.016	0.1787	0.0015	1263	16	1129	9	1060	9	94%
40	238	1367	0.17	0.0646	0.0006	1.060	0.009	0.1190	0.0010	762	19	734	6	725	6	99%
41	41	122	0.34	0.1858	0.0015	13.369	0.104	0.5218	0.0061	2706	13	2706	21	2707	32	100%
42	95	119	0.79	0.0677	0.0014	1.234	0.022	0.1322	0.0018	858	44	816	15	801	11	98%
43	276	500	0.55	0.0578	0.0007	0.597	0.006	0.0749	0.0009	522	26	475	5	466	5	98%
44	93	188	0.49	0.0578	0.0019	0.564	0.016	0.0708	0.0007	521	73	454	13	441	5	97%
45	33	161	0.21	0.0668	0.0011	1.235	0.018	0.1341	0.0013	832	35	816	12	811	8	99%
46	185	174	1.06	0.0643	0.0013	1.067	0.017	0.1205	0.0012	750	42	737	12	733	7	99%
47	98	167	0.58	0.0589	0.0018	0.619	0.015	0.0763	0.0011	562	66	489	12	474	7	97%
48	41	67	0.61	0.1995	0.0023	14.647	0.155	0.5325	0.0067	2822	19	2793	30	2752	34	99%
49	118	82	1.44	0.0623	0.0029	1.018	0.041	0.1186	0.0016	683	100	713	29	722	10	101%
50	63	104	0.61	0.1118	0.0013	4.736	0.050	0.3073	0.0036	1828	21	1774	19	1728	20	97%
51	108	634	0.17	0.0718	0.0007	1.563	0.014	0.1580	0.0015	979	19	956	8	946	9	99%
52	104	250	0.42	0.0699	0.0011	1.563	0.022	0.1623	0.0012	925	34	956	14	969	7	101%
53	239	397	0.60	0.0713	0.0008	1.635	0.017	0.1663	0.0025	966	22	984	10	992	15	101%

续表2-6

分析点	Th/ 10^{-6}	U/ 10^{-6}	Th/U	同位素比值						年龄 /Ma						谐和度
				$^{207}\text{Pb}/^{206}\text{Pb}$	$\pm\sigma$	$^{207}\text{Pb}/^{235}\text{U}$	$\pm\sigma$	$^{206}\text{Pb}/^{238}\text{U}$	$\pm\sigma$	$^{207}\text{Pb}/^{206}\text{Pb}$	$\pm\sigma$	$^{207}\text{Pb}/^{235}\text{U}$	$\pm\sigma$	$^{206}\text{Pb}/^{238}\text{U}$	$\pm\sigma$	
样品 XP12-1																
54	111	185	0.60	0.0724	0.0014	1.403	0.023	0.1404	0.0010	998	39	890	15	847	6	95%
55	74	231	0.32	0.0572	0.0014	0.544	0.012	0.0689	0.0006	501	55	441	10	430	3	97%
56	169	281	0.60	0.0769	0.0009	1.785	0.016	0.1684	0.0019	1118	22	1040	10	1003	11	96%
57	227	370	0.61	0.0597	0.0011	0.573	0.009	0.0696	0.0008	592	40	460	7	434	5	94%
58	151	810	0.19	0.1607	0.0011	10.206	0.063	0.4607	0.0032	2463	12	2454	15	2442	17	100%
59	74	161	0.46	0.0801	0.0008	2.381	0.020	0.2155	0.0024	1200	19	1237	11	1258	14	102%
60	131	376	0.35	0.0754	0.0008	1.669	0.034	0.1605	0.0053	1080	22	997	20	960	32	96%
61	224	358	0.63	0.1212	0.0007	4.367	0.029	0.2614	0.0025	1974	11	1706	12	1497	14	88%
62	87	219	0.40	0.0726	0.0008	1.489	0.014	0.1487	0.0010	1004	22	926	9	893	6	96%
63	23	129	0.18	0.1159	0.0013	4.652	0.046	0.2911	0.0020	1894	20	1759	18	1647	12	94%
64	94	206	0.46	0.0918	0.0008	3.082	0.024	0.2436	0.0022	1463	16	1428	11	1405	13	98%
65	277	631	0.44	0.0592	0.0007	0.563	0.006	0.0691	0.0005	573	27	454	5	430	3	95%
66	300	463	0.65	0.0624	0.0006	1.005	0.008	0.1169	0.0010	687	21	706	6	712	6	101%
67	99	302	0.33	0.0925	0.0006	3.087	0.019	0.2421	0.0023	1477	13	1429	9	1398	13	98%
68	59	702	0.08	0.1135	0.0007	4.907	0.029	0.3134	0.0027	1857	11	1803	10	1758	15	97%
69	163	353	0.46	0.0904	0.0006	2.885	0.022	0.2315	0.0032	1434	13	1378	11	1342	18	97%
70	253	698	0.36	0.1757	0.0012	11.347	0.080	0.4685	0.0052	2612	11	2552	18	2477	27	97%
71	154	490	0.31	0.0737	0.0006	1.680	0.014	0.1655	0.0016	1032	18	1001	8	987	10	99%
72	221	667	0.33	0.0876	0.0008	2.581	0.026	0.2137	0.0040	1374	17	1295	13	1249	23	96%
73	217	215	1.01	0.0588	0.0020	0.561	0.016	0.0692	0.0008	560	73	452	13	431	5	95%
74	247	418	0.59	0.0671	0.0007	1.207	0.010	0.1305	0.0018	840	20	804	7	791	11	98%
75	138	295	0.47	0.0838	0.0011	1.958	0.027	0.1695	0.0023	1288	24	1101	15	1009	14	92%
76	254	381	0.67	0.0564	0.0011	0.545	0.008	0.0700	0.0010	470	42	442	7	436	6	99%
77	135	339	0.40	0.1917	0.0011	13.711	0.075	0.5187	0.0041	2757	10	2730	15	2694	21	99%
78	99	214	0.47	0.0572	0.0017	0.546	0.014	0.0692	0.0005	500	67	442	11	431	3	98%
79	223	998	0.22	0.1572	0.0010	5.851	0.067	0.2699	0.0064	2426	10	1954	22	1540	37	79%
80	224	474	0.47	0.1614	0.0010	10.087	0.071	0.4533	0.0052	2470	11	2443	17	2410	28	99%
81	475	833	0.57	0.0677	0.0006	1.215	0.009	0.1301	0.0015	860	17	807	6	789	9	98%
82	240	706	0.34	0.0631	0.0004	0.964	0.007	0.1107	0.0012	713	15	685	5	677	7	99%
83	382	2297	0.17	0.0660	0.0004	1.185	0.007	0.1301	0.0014	808	11	793	5	788	8	99%
84	62	63	0.98	0.1133	0.0013	4.877	0.051	0.3123	0.0028	1852	21	1798	19	1752	16	97%
85	198	281	0.71	0.0836	0.0006	2.499	0.016	0.2169	0.0017	1282	13	1272	8	1265	10	100%
86	43	60	0.72	0.0678	0.0030	1.160	0.044	0.1241	0.0016	861	91	782	30	754	10	96%
87	59	39	1.51	0.1195	0.0016	5.815	0.069	0.3530	0.0034	1949	25	1949	23	1949	19	100%
88	116	227	0.51	0.0556	0.0013	0.538	0.011	0.0701	0.0006	437	51	437	9	437	4	100%
89	111	305	0.36	0.0602	0.0009	0.744	0.009	0.0895	0.0008	612	31	564	7	553	5	98%
90	199	369	0.54	0.0553	0.0009	0.544	0.007	0.0714	0.0006	424	37	441	6	445	4	101%
91	329	610	0.54	0.0564	0.0006	0.552	0.005	0.0709	0.0007	470	24	446	4	441	4	99%
92	120	114	1.06	0.0685	0.0013	1.533	0.024	0.1623	0.0021	884	38	944	15	969	13	103%
93	40	118	0.34	0.0676	0.0015	1.208	0.022	0.1295	0.0012	857	45	804	15	785	7	98%
94	430	591	0.73	0.0562	0.0006	0.553	0.005	0.0714	0.0008	460	24	447	4	445	5	99%
95	249	345	0.72	0.0980	0.0008	3.623	0.028	0.2682	0.0038	1586	14	1555	12	1532	22	99%
96	73	2172	0.03	0.0572	0.0005	0.639	0.005	0.0811	0.0010	498	19	502	4	502	6	100%
97	109	287	0.38	0.0653	0.0009	1.071	0.011	0.1188	0.0015	785	27	739	8	724	9	98%
98	174	277	0.63	0.1052	0.0008	4.415	0.031	0.3043	0.0033	1718	14	1715	12	1713	18	100%
99	31	30	1.01	0.0933	0.0069	1.706	0.107	0.1326	0.0031	1493	140	1011	63	803	19	79%
100	86	144	0.60	0.0654	0.0013	1.111	0.019	0.1232	0.0011	788	43	759	13	749	7	99%
101	368	1073	0.34	0.0557	0.0005	0.538	0.004	0.0701	0.0006	440	18	437	3	437	4	100%
102	238	615	0.39	0.0671	0.0005	1.210	0.009	0.1307	0.0013	842	15	805	6	792	8	98%
103	197	184	1.07	0.0668	0.0011	1.214	0.017	0.1318	0.0012	832	34	807	11	798	7	99%

续表2-7

分析点	Th/ 10^{-6}	U/ 10^{-6}	Th/U	同位素比值						年 龄 /Ma						谐和度
				$^{207}\text{Pb}/^{206}\text{Pb}$	$\pm\sigma$	$^{207}\text{Pb}/^{235}\text{U}$	$\pm\sigma$	$^{206}\text{Pb}/^{238}\text{U}$	$\pm\sigma$	$^{207}\text{Pb}/^{206}\text{Pb}$	$\pm\sigma$	$^{207}\text{Pb}/^{235}\text{U}$	$\pm\sigma$	$^{206}\text{Pb}/^{238}\text{U}$	$\pm\sigma$	
样品 XP12-1																
104	273	491	0.56	0.0573	0.0008	0.565	0.007	0.0715	0.0009	503	29	455	5	445	5	98%
105	156	756	0.21	0.0704	0.0005	1.529	0.011	0.1576	0.0014	939	16	942	7	943	8	100%
106	214	388	0.55	0.1000	0.0007	3.944	0.026	0.2860	0.0028	1625	13	1623	11	1621	16	100%
107	109	267	0.41	0.0668	0.0007	1.274	0.012	0.1384	0.0010	830	23	834	8	835	6	100%
108	30	313	0.10	0.1553	0.0009	8.949	0.047	0.4180	0.0026	2405	10	2333	12	2252	14	97%
109	86	201	0.43	0.0561	0.0015	0.547	0.012	0.0707	0.0006	457	58	443	10	440	4	99%
110	190	417	0.45	0.0818	0.0005	2.253	0.018	0.1998	0.0029	1240	13	1198	9	1174	17	98%
111	148	304	0.49	0.0550	0.0011	0.568	0.010	0.0749	0.0010	411	44	456	8	466	6	102%
112	239	452	0.53	0.0560	0.0008	0.567	0.007	0.0734	0.0011	452	31	456	6	457	7	100%
113	221	454	0.49	0.0666	0.0006	1.316	0.011	0.1433	0.0022	826	18	853	7	863	14	101%
114	584	504	1.16	0.0660	0.0005	1.253	0.009	0.1378	0.0012	805	16	825	6	832	7	101%
115	107	1162	0.09	0.0696	0.0004	1.480	0.011	0.1541	0.0022	917	12	922	7	924	13	100%
116	87	577	0.15	0.1024	0.0006	4.258	0.030	0.3017	0.0045	1668	10	1685	12	1700	25	101%
117	610	708	0.86	0.0575	0.0006	0.570	0.005	0.0718	0.0008	511	21	458	4	447	5	98%
118	27	1039	0.03	0.1996	0.0012	14.444	0.125	0.5247	0.0081	2823	10	2779	24	2719	42	98%
119	27	669	0.04	0.0703	0.0005	1.555	0.013	0.1604	0.0026	938	14	953	8	959	16	101%
120	115	1272	0.09	0.1436	0.0010	7.330	0.050	0.3701	0.0035	2271	12	2152	15	2030	19	94%

3.3 变质石英砂岩(样品XP12-1)

变质石英砂岩(XP12-1)中的锆石呈卵形—柱状,所有颗粒均发育韵律环带,个别颗粒发育狭窄的暗色或灰色生长边(图2-c)。120个分析点全部位于韵律环带部位。有效数据所获得的年龄从2823 Ma \pm 10 Ma 变化到418 Ma \pm 5 Ma,其中1个主要峰值约为442 Ma,另5个次要峰值约为2460 Ma、968 Ma、803 Ma、788 Ma 和 723 Ma(图3)。

4 讨论

4.1 刘岭群的时代

前人^[34]对于刘岭群沉积时代的确定主要依据古生物化石,自下而上将刘岭群分为中泥盆世牛耳川组、池沟组、青石垭组和晚泥盆世桐峪寺组。青石垭组产腕足类化石(*Stringocephalus*, *Ilmenia sinensis*, *Emanuella*)和珊瑚化石(*Thamnopora mcholsom Frech*, *Pseudomicropalma* sp., *Alveolitella* sp.),其中*Stringocephalus*是中泥盆世晚期的标准分子。桐峪寺组产腕足类(*Chonetes*)、孢子化石(*Ara-chaeozonotrites varibilis*, *Discerrusporites muromamfes-tus*, *Samarisporites comcinnus*等)、疑源类(*Micrystrid-*

ium sp.)、几丁虫(*Aangochitina* sp.)、虫颤(*Scolecodonts*)等,时代属晚泥盆世。然而,牛耳川组和池沟组泥质灰岩中缺乏珊瑚和腕足类化石,其精确的地层年龄仍然不确定,仅根据层序关系也可将牛耳川组和池沟组一同定为中泥盆世。由于地层的沉积时代比碎屑形成的时代年轻,因此碎屑锆石的年龄常常被用来约束地层沉积时代的上限。最近,Dong等^[9]在刘岭群3个变质砂岩样品中获得的最年轻的碎屑锆石年龄为401 Ma \pm 6 Ma,最小的峰值年龄为429~482 Ma,由此推断刘岭群的沉积时代不早于中泥盆世。本次取自池沟组的2个变质砂岩样品DF04-4和XP12-1也给出了相似的最小年龄峰值,分别为440 Ma 和 442 Ma。然而,从青石垭组含石榴二云石英片岩(样品TYP07-2)中获得最年轻的一组年龄区间为377~395 Ma,峰值年龄为392 Ma。因此,从碎屑锆石年代学的角度可以证实沉积作用持续到晚泥盆世。

位于刘岭群北侧的武关杂岩是紧邻商丹断裂带的一套变质火山—沉积岩系(图1-b)。主要由变质碎屑岩、变泥质岩及少量斜长角闪岩、大理岩和石英岩夹层组成。武关杂岩中同沉积变质安山

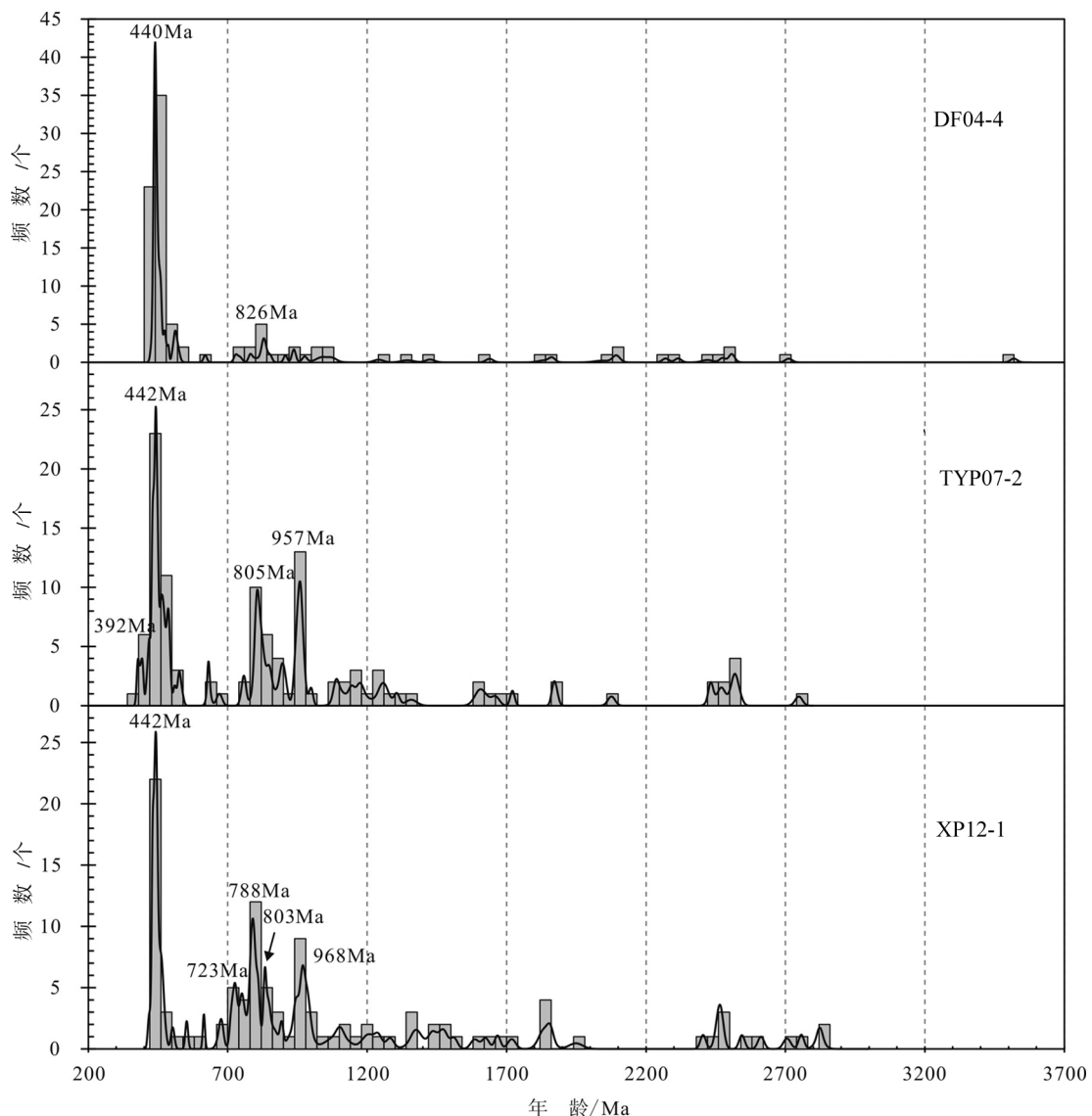


图3 刘岭群变质砂岩中碎屑锆石U-Pb年龄频率分布

Fig. 3 Relative probability plots of U-Pb ages for concordant detrital zircons from metasandstones of the Liuling Group

岩的形成时代为 $368\text{Ma}\pm3\text{Ma}$,因此可将沉积时代限定为晚泥盆世^[10]。构成武关杂岩主体的变质沉积岩在沉积时代和物质来源上与刘岭群具有可对比性(见下文详细讨论)。由此说明,武关杂岩的变质沉积岩与南侧刘岭群可能同为晚泥盆世盆地的沉积地层。二者在岩石组合、原岩建造及变性特征上的差异^[37-38],可能是由于二者在盆地中的位置不同所致。

4.2 刘岭群的物质来源

刘岭群的物质来源一直是个悬而未决的问

题。基于刘岭群砂岩的地球化学特征,Gao等^[39]认为,碎屑物质既来源于北秦岭,也来源于南秦岭。和军等^[19]对刘岭群砂岩的地球化学研究表明,其具有较高的化学成熟度,碎屑物质可能来源于相对稳定的陆源区或者是更老的沉积岩再旋回的产物,属于扬子板块被动大陆边缘盆地沉积。Yan等^[23-24]对刘岭群各个岩性组的碎屑岩进行了详细的岩石地球化学研究,认为刘岭群主要由成熟度低的硬砂岩组成,物质来源为北秦岭大陆岛弧大量不成熟的长英质碎屑和少量弧基底的成熟性碎屑,属于北秦

岭岛弧南缘弧前盆地沉积。Dong等^[9]对黑河和武关地区的刘岭群中3个变质砂岩样品进行了碎屑锆石LA-ICP-MS U-Pb测年分析,获得碎屑锆石年龄频率的主要峰值为400~600Ma,次要峰值为800~1100Ma,其他样品年龄散布在700~800Ma之间。由此推断,北秦岭和南秦岭共同为其提供物源,其中北秦岭为主要物源供给,刘岭群形成于前陆盆地环境。

本文的3个变质砂岩样品(DF04-4、TYP07-2和XP12-1)给出的碎屑锆石年龄谱图相差不大,主要峰值约为442Ma,次要峰值约为2.5Ga、900~970Ma和780~850Ma,仅样品XP12-1给出了1组723Ma的次要峰值年龄。这一年龄图谱与刘岭群北侧武关杂岩(780~920Ma和440~480Ma)^[9~10]、桐柏南湾复理石(970Ma、810~840Ma、480~490Ma和435~440Ma)^[6]和佛子岭岩群(2.5Ga、1.8~1.9Ga、0.7~1.0Ga和0.4~0.5Ga)^[40]的年代学图谱基本相当,因此将刘岭群归属于泥盆纪浊积岩建造应没有异议。442Ma、780~850Ma和900~970Ma三个主要的年龄峰值(约占)说明,北秦岭志留纪—泥盆纪岩浆岩及其前寒武纪基底可能是刘岭群碎屑沉积岩的重要物源,这一假设得到了刘岭群碎屑沉积物地球化学研究^[24]的证实。同时,通过对刘岭群和秦岭岩群沉积岩中碎屑锆石年龄图谱^[4,28]对比可以看出,刘岭群中的所有峰值年龄在北秦岭中都能发现。因此,刘岭群的碎屑物质可能仅来源于北秦岭。由此可见,刘岭群及其对应的南湾复理石和佛子岭群应属于弧前盆地复理石建造,而非扬子板块北缘被动边缘沉积或者前陆盆地沉积。

4.3 构造意义

华北与扬子陆块的缝合经历了显生宙以来从增生到碰撞的多阶段构造演化。虽然多数学者^[2~3,5~6,22,41]认为秦岭大陆岛弧与华北陆块之间的弧陆碰撞结束于志留纪末,同时在华北陆块南缘形成了一个安第斯型的大陆边缘,但是,随后关于大陆边缘增生和古秦岭洋(Dong等^[3]称其为商丹洋)关闭的构造演化过程则存在很大的争议。基于刘岭群的地球化学特征和碎屑锆石的研究,一些学者^[9,39]提出古秦岭洋的关闭发生在泥盆纪早期。同时,秦岭造山带大规模的岛弧岩浆作用结束于泥盆纪这一事实似乎印证了这一推断。然而,桐柏、大别和苏鲁地区高压/超高压变质作用的年龄^[41~46]和古地磁数据^[47~48]

则表明华北与扬子陆块最终碰撞发生于晚二叠世—三叠纪^[41~43,45~46]。

最近的研究证实,刘岭群北侧的武关杂岩形成于秦岭大陆岛弧南缘的弧前盆地环境^[9~10]。值得注意的是,武关杂岩主体的变质沉积岩中碎屑锆石的年龄图谱和刘岭群年代学图谱基本相当。因此,构成武关杂岩主体的变质沉积岩应属于泥盆纪刘岭群浊积岩的一部分^[10]。本文研究证实,刘岭群的碎屑物质来源于北秦岭大陆岛弧,同时刘岭群最新的地球化学研究也证实其碎屑物质没有南秦岭的贡献^[24]。因此,刘岭群和武关杂岩同属于华北板块南缘弧前盆地的产物。此外,武关杂岩中与岛弧相关的350~370Ma的火成岩也暗示了存在同期的洋壳俯冲^[10]。由此可见,古秦岭洋的最终关闭应在泥盆纪之后,华北与扬子陆块碰撞的主缝合线可能位于刘岭群的南侧。

5 结 论

(1)刘岭群碎屑锆石中最年轻的一组年龄区间(377~392Ma)表明其沉积时代可以持续到晚泥盆世。

(2)刘岭群3个主要的峰值年龄(442Ma、780~850Ma和900~970Ma)说明,北秦岭志留纪—泥盆纪岩浆岩及其前寒武纪基底可能是刘岭群碎屑沉积岩的主要物源。

(3)刘岭群和武关杂岩具有相似的沉积年龄和物质来源,它们共同构成了华北陆块南缘中—晚泥盆世弧前盆地,暗示古秦岭洋的最终闭合发生在泥盆纪之后,华北与扬子陆块碰撞的主缝合线应位于刘岭群的南侧。

致谢:LA-ICP-MS 锆石 U-Th-Pb 同位素测定得到中国地质调查局天津地质调查中心李怀坤研究员和耿建珍工程师的指导,审稿人对本文提出了建设性的修改意见,在此一并致谢。

参考文献

- [1] 张国伟,张本仁,袁学诚,等.秦岭造山带与大陆动力学[M].北京:科学出版社,2001: 1~885.
- [2] Ratschbacher L, Hacher B R, Calvert A, et al. Tectonics of the Qinling (Central China): tectonostratigraphy, geochronology, and deformation history[J]. Tectonophysics, 2003, 366: 1~53.
- [3] Dong Y P, Zhang G W, Neubauer F, et al. Tectonic evolution of the Qinling orogen, China: review and synthesis[J]. Journal of Asian

- Earth Sciences, 2011, 41: 213–237.
- [4]Wu Y B, Zheng Y F. Tectonic evolution of a composite collision orogen: an overview on the Qinling–Tongbai–Hong'an–Dabie–Sulu orogenic belt in central China[J]. *Gondwana Research*, 2013, 23: 1402–1428.
- [5]Liu X C, Jahn B M, Hu J, et al. Metamorphic patterns and SHRIMP zircon ages of medium to high grade rocks from the Tongbai orogen, central China: implications for multiple accretion/collision processes prior to terminal continental collision[J]. *Journal of Metamorphic Geology*, 2011, 29: 979–1002.
- [6]Liu X C, Jahn B M, Li S Z, et al. U–Pb zircon age and geochemical constraints on tectonic evolution of the Paleozoic accretionary orogen system in the Tongbai orogen, central China[J]. *Tectonophysics*, 2013, 29: 233–249.
- [7]任纪舜, 陈廷愚, 牛宝贵, 等. 中国东部及邻区大陆岩石圈的构造演化与成矿[M]. 北京: 科学出版社, 1990: 1–205.
- [8]任纪舜, 张正坤, 牛宝贵, 等. 论秦岭造山带—中朝扬子板块的拼合过程[C]//叶连俊, 钱祥麟, 张国伟主编, 秦岭造山带学术讨论会论文选集. 西安: 西北大学出版社, 1991: 99–110.
- [9]Dong Y P, Liu X M, Neubauer F, et al. Timing of Paleozoic amalgamation between the North China and South China Blocks: evidence from detrital zircon U–Pb ages[J]. *Tectonophysics*, 2013, 586: 173–191.
- [10]Chen L Y, Liu X C, Qu W, et al. U–Pb zircon ages and geochemistry of the Wuguan complex in the Qinling orogeny, central China: implications for the late Paleozoic tectonic evolution between the Sino–Korean and Yangtze cratons[J]. *Lithos*, 2014, 192/195: 192–207.
- [11]Mattauer M, Matte P, Malavieille J, et al. Tectonics of the Qinling belt: build-up and evolution of eastern Asia[J]. *Nature*, 1985, 317: 496–500.
- [12]许志琴, 卢一伦, 汤耀庆, 等. 东秦岭复合山链的形成——变形、演化及板块动力学[M]. 北京: 中国环境科学出版社, 1988: 1–193.
- [13]Yu Z P, Meng Q R. Late Paleozoic sedimentary and tectonic evolution of the Shangdan suture zone, eastern Qinling, China[J]. *Journal of Southeast Asian Earth Sciences*, 1995, 11: 237–242.
- [14]杜远生. 西秦岭造山带泥盆纪沉积地层学和动力沉积学: 西秦岭北带泥盆纪前陆盆地的沉积特征及盆地格局[J]. 岩相古地理, 1995, 15(4): 47–62.
- [15]张国伟, 梅志超, 李桃红. 秦岭造山带南部古被动大陆边缘[C]//张国伟主编. 秦岭造山带的形成及其演化. 西安: 西北大学出版社, 1988: 86–96.
- [16]王清晨, 孙枢, 李继亮, 等. 秦岭的大地构造演化[J]. 地质科学, 1989, 24(2): 129–142.
- [17]Hsü K J, Wang Q C, Li J, et al. Tectonic evolution of Qinling Mountains, China[J]. *Eclogae Geologicae Helvetiae*, 1987, 80: 735–752.
- [18]Okay A I, Sengor A M C, Satir M. Tectonics of an ultrahigh-pressure metamorphic terrane: the Dabie Shan/Tongbai Shan orogeny, China[J]. *Tectonics*, 1993, 12: 1320–1334.
- [19]和政军, 牛宝贵, 任纪舜. 陕南山阳地区刘岭群砂岩岩石地球化学特征及其构造背景分析[J]. *地质科学*, 2005, 40(4): 594–607.
- [20]王宗起, 王涛, 闫臻. 秦岭晚古生代弧前增生的背斜型盆地体系[J]. *地质通报*, 2002, 21(8/9): 456–464.
- [21]王宗起, 闫全人, 闫臻, 等. 秦岭造山带主要大地构造单元的新划分[J]. *地质学报*, 2009, 83(11): 1527–1546.
- [22]Hacker B R, Ratschbacher L, Liou J G. Subduction, collision and exhumation in the ultrahigh-pressure Qinling–Dabie orogen[C]//Malpas J, Fletcher C J N, Ali J R, et al. *Aspects of the Tectonic Evolution of China*. Geological Society, London, Special Publication 226, 2004: 157–175.
- [23]Yan Z, Wang Z Q, Yan Q R, et al. Devonian sedimentary environments and provenance of the Qinling orogen: constraints on late Paleozoic southward accretionary tectonics of the north China craton[J]. *International Geology Review*, 2006, 48: 585–618.
- [24]Yan Z, Wang Z Q, Yan Q R, et al. Geochemical constraints on the provenance and depositional setting of the Devonian Liuling Group, East Qinling Mountains, central China: implications for the tectonic evolution of the Qinling orogenic belt[J]. *Journal of Sedimentary Research*, 2012, 82: 9–20.
- [25]Meng Q R, Zhang G W. Timing of collision of the North and South China blocks: controversy and reconciliation[J]. *Geology*, 1999, 27: 123–126.
- [26]Meng Q R, Zhang G W. Geologic framework and tectonic evolution of the Qinling orogen, central China[J]. *Tectonophysics*, 2000, 323: 183–196.
- [27]Zhu X Y, Chen F K, Li S Q, et al. Crustal evolution of the North Qinling terrain of the Qinling Orogen, China: evidence from detrital zircon U–Pb ages and Hf isotopic composition[J]. *Gondwana Research*, 2011, 20: 194–204.
- [28]Diwu C R, Sun Y, Zhang H, et al. Episodic tectonothermal events of the western North China Craton and North Qinling Orogenic Belt in central China: Constraints from detrital zircon U–Pb ages [J]. *Journal of Asian Earth Sciences*, 2012, 47: 107–122.
- [29]陈义兵, 张国伟, 鲁如魁, 等. 北秦岭—祁连结合区大草滩群碎屑锆石U–Pb年代学研究[J]. 2010, 84(7): 947–962.
- [30]Hu J, Liu X C, Chen L Y, et al. A ~2.5Ga magmatic event at the northern margin of the Yangtze craton: Evidence from U–Pb dating and Hf isotope analysis of zircons from the Douling Complex in the South Qinlin orogen[J]. *Chinese Science Bulletin*, 2013, 58 (28/29): 3564–3579.
- [31]Liu X C, Jahn B M, Cui J J, et al. Triassic retrograded eclogites and Cretaceous gneissic granites in the Tongbai Complex, central China: implications for the architecture of the HP–UHP Tongbai–Dabie–Sulu collision zone[J]. *Lithos*, 2010, 119: 211–237.
- [32]Wang T, Wang X X, Tian W, et al. North Qinling Paleozoic granite associations and their variation in space and time: implications for orogenic processes in the orogens of central China[J]. *Science in China (Series D)*, 2009, 52: 1359–1384.

- [33] Wang X X, Wang T, Zhang C L. Neoproterozoic, Paleozoic, and Mesozoic granitoid magmatism in the Qinling Orogen, China: constraints on orogenic process[J]. Journal of Asian Earth Science, 2013, 72: 129–151.
- [34] 杜定汉. 陕西秦巴地区泥盆系研究[M]. 西安: 西安交通大学出版社, 1986: 1–187.
- [35] 李怀坤, 耿建珍, 郝爽, 等. 用激光烧蚀多接收器等离子体质谱仪(LA-MC-ICPMS)测定锆石U-Pb同位素年龄的研究[J]. 矿物学报(增刊), 2009, S1: 600–601.
- [36] Ludwig K R. User's manual for Isoplot 3.00. A geochronological Toolkit for Microsoft Excel[M]. Berkeley Geochronology Center. Special Publication, 2003, No. 4a.
- [37] 于在平, 孙勇, 张国伟. 商丹地区秦岭缝合带弧前沉积楔形体初探[C]//张国伟主编. 秦岭造山带的形成及其演化. 西安: 西北大学出版社, 1988: 75–85.
- [38] 牛宏建. 东秦岭地区“刘岭群”的重新划分[J]. 地质科学, 1995, 30(4): 313–320.
- [39] Gao S, Zhang B R, Gu X M, et al. Silurian–Devonian provenance changes of South Qinling basins: implications for accretion of the Yangtze (South China) to the North China Craton[J]. Tectonophysics, 1995, 250: 183–197.
- [40] Chen F K, Guo J H, Jiang L L, et al. Provenance of the Beihuangyang lower-grade metamorphic zone of the Dabie ultrahigh-pressure collisional orogen, China: evidence from zircon ages[J]. Journal of Asian Earth Sciences, 2003, 22: 343–352.
- [41] Ratschbacher L, Franz L, Enkelmann E, et al. The Sino–Korean–Yangtze suture, the Huwan detachment, and the Paleozoic–Tertiary exhumation of (ultra)high-pressure rocks along the Tongbai–Xinxian–Dabie Mountains[C]//Hacker B R, McClelland W C, Liou J G. Ultrahigh-pressure Metamorphism: Deep Continental Subduction. Geological Society of America Special Paper, 2006, 403: 45–75.
- [42] Ames L, Tilton G R, Zhou G Z. Timing of collision of the Sino–Korean and Yangtze cratons: U–Pb zircon dating of coesite–bearing eclogites[J]. Geology, 1993, 21: 339–342.
- [43] Ames L, Zhou G, Xiong B. Geochronology and isotopic character of ultrahigh-pressure metamorphism with implications for collision of the Sino–Korean and Yangtze Cratons, central China[J]. Tectonics, 1996, 15: 472–489.
- [44] Li S G, Xiao Y L, Liou D L, et al. Collision of the North China and Yangtze Blocks and formation of coesite–bearing eclogites: timing and processes[J]. Chemical Geology, 1993, 109: 89–111.
- [45] Hacker B R, Ratschbacher L, Webb L, et al. U–Pb zircon ages constrain the architecture of the ultrahigh-pressure Qinling–Dabie Orogen, China[J]. Earth and Planetary Science Letters, 1998, 161: 215–230.
- [46] Liu X C, Jahn B M, Dong S W, et al. High-pressure metamorphic rocks from Tongbaishan, central China: U–Pb and $^{40}\text{Ar}/^{39}\text{Ar}$ age constraints on the provenance of protoliths and timing of metamorphism[J]. Lithos, 2008, 105: 301–318.
- [47] Zhao X X, Coe R. Palaeomagnetic constraints on the collision and rotation of North and South China[J]. Nature, 1987, 327: 141–144.
- [48] Enkin R J, Yang Z, Chen Y, et al. Paleomagnetic constraints on the geodynamic history of the major blocks of China from Permian to the present[J]. Journal of Geophysical Research, 1992, 97: 13953–13989.